

IV-1 混成防波堤マウンドの水理的効果について

九州大学工学部 正員 井島 武士
 熊本大学工学部 正員 田村 幹修
 熊本大学工学部 学生員 ○中村 美治

1 まえがき

混成防波堤の直立部に作用する波力や波の反射、通過等に防波堤マウンドがどのような水理的效果を及ぼしているかを理論的に解析する。

混成防波堤マウンドの斜面は、Fig.1(a)に示すように垂直におきかえ理論的取扱いを簡単にしておるが、今回はFig.1(b)に示していくようなモデルについての理論的方法を示し、発表時に計算および実験結果をあわせて報告する。Model 1については別の機会に発表する予定である。

2 理論

Fig.1(b)のように幅 $2l$ の不透過堤体が空隙率 τ 、抵抗係数 μ 水面からの深さ gh ($g \leq 1$) のマウンドの上に在るときを考え、流体域を図のように I, II, III と分ける。定常状態を考え、入射波の周波数を ω 速度ポテンシャルを $\psi(x, y; t) = \phi(x, y) \cdot e^{i\omega t}$ とし、各流体域の速度ポテンシャルを ϕ_1, ϕ_2, ϕ_3 とすると、それらは次のようにあらわされる。

$$\phi_1 = (A e^{ik(x-l)} + B e^{ik(x+l)}) \frac{\cosh k(z+h)}{\cosh kh} + \sum_{n=1}^{\infty} C_n e^{-kn(x-l)} \frac{\cos kn(z+h)}{\cos kh} \quad \dots \dots \dots (1)$$

$$\phi_2 = \sum_{m=0}^{\infty} \left(H_r \frac{\cosh Mx}{\cosh Ml} + I_r \frac{\sinh Mx}{\sinh Ml} \right) \cos M(z+h) \quad \dots \dots \dots (2)$$

$$\phi_3 = J e^{ik(x+l)} \frac{\cosh k(z+h)}{\cosh kh} + \sum_{n=1}^{\infty} L_n e^{kn(x+l)} \frac{\cos kn(z+h)}{\cos kh} \quad \dots \dots \dots (3)$$

ここで $M = m\pi/gh$ (m は整数, $\bar{g} = 1-g$), k, k_n は次式で決まる固有値である。

$$s^2 h/g = kh \tanh kh = -kh \tan kh$$

式(1)~(3)はラプラスの式 $\partial^2 \phi_i / \partial x^2 + \partial^2 \phi_i / \partial z^2 = 0$ ($i=1, 2, 3$) と表面条件又は不透過堤体底面条件および水底条件を満たす解であるが、これらはさらに、 $x = \pm l$ で mass flux と energy flux の連続の条件から境界条件として次の関係式を満足せねばならない。

$$x = l \text{ で } \begin{aligned} \partial \phi_1 / \partial x &= 0 \\ \partial \phi_2 / \partial x &= \partial \phi_3 / \partial x \end{aligned} ; \quad \phi_1 = \beta \phi_2 \quad \left. \begin{aligned} (0 > z > -gh) \\ (-gh > z > -h) \end{aligned} \right\} \dots \dots \dots (4)$$

$$x = -l \text{ で } \begin{aligned} \partial \phi_2 / \partial x &= 0 \\ \partial \phi_2 / \partial x &= \partial \phi_3 / \partial x \end{aligned} ; \quad \beta \phi_2 = \phi_3 \quad \left. \begin{aligned} (0 > z > -gh) \\ (-gh > z > -h) \end{aligned} \right\} \dots \dots \dots (5)$$

$$\text{ここで } \beta = (1 - \mu \tau \mu_0) / \tau$$

条件式(4),(5)に式(1),(2),(3)を代入すると次の関係式を得る。

$$(A - B) \frac{\cosh k(z+h)}{\cosh kh} + i \sum_{n=1}^{\infty} C_n \frac{k_n \cosh kn(z+h)}{k \cosh kh} = 0 \quad (0 > z > -gh) \quad \backslash$$

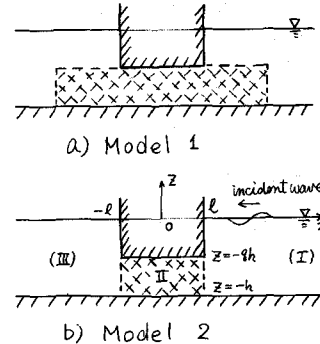


Fig.1 DIFINICION SKETCH

$$= -i \sum_{m=0}^{\infty} \frac{M_m}{k h} (H_m \tanh M h + I_m \coth M h) \cos M(z+h) \quad (-q h > z > -h) \quad (6)$$

$$\beta \sum_{m=0}^{\infty} (H_m + I_m) \cos M(z+h) = (A+B) \frac{\cosh k(z+h)}{\cosh kh} + \sum_{n=1}^{\infty} C_n \frac{\cos kh(z+h)}{\cosh kh} \quad (-q h > z > -h) \quad (7)$$

$$\begin{aligned} J \frac{\cosh k(z+h)}{\cosh kh} - i \sum_{n=1}^{\infty} L_n \frac{\cos kh(z+h)}{\cosh kh} &= 0 \quad (0 > z > -q h) \\ &= i \sum_{n=0}^{\infty} \frac{M_n}{k h} (H_n \tanh M h - I_n \coth M h) \cos M(z+h) \quad (-q h > z > -h) \end{aligned} \quad (8)$$

$$\beta \sum_{m=0}^{\infty} (H_m - I_m) \cos M(z+h) = J \frac{\cosh k(z+h)}{\cosh kh} + \sum_{n=1}^{\infty} L_n \frac{\cos kh(z+h)}{\cosh kh} \quad (-q h > z > -h) \quad (9)$$

式(6), (7)の各項に $\int_{-h}^0 (\) \cosh k(z+h) dz$, $\int_{-h}^0 (\) \cos kh(z+h) dz$, 式(8), (9)の各項に $\int_{-h}^0 (\) \cos R(z+h) dz$ の計算を行うと、 $\cosh k(z+h)$ と $\cos kh(z+h)$, ($n=1, 2, 3, \dots$) および $\cos M(z+h)$ と $\cos R(z+h)$ ($R \neq M$) が $z=-h$ で完全直交函数系であることより次の関係式を得る。

$$(A-B) = -i \sum_{m=0}^{\infty} b_{mo} (H_m \tanh M h + I_m \coth M h), \quad C_n = -\sum_{m=0}^{\infty} b_{mn} (H_m \tanh M h + I_m \coth M h) \quad (10)$$

$$J = i \sum_{m=0}^{\infty} b_{mo} (H_m \tanh M h - I_m \coth M h), \quad L_n = -\sum_{m=0}^{\infty} b_{mn} (H_m \tanh M h - I_m \coth M h) \quad (11)$$

$$\beta \varepsilon_m (H_m + I_m) = a_{mo} (A+B) + \sum_{n=1}^{\infty} a_{mn} C_n, \quad \beta \varepsilon_m (H_m - I_m) = a_{mo} J + \sum_{n=1}^{\infty} a_{mn} L_n \quad \varepsilon_m = 1 (m=0); = \frac{1}{2} (m \neq 0) \quad (12)$$

$$\text{ここで } a_{mo} = \frac{(-1)^m}{\cosh \lambda_0} \frac{\lambda_0 \sinh \lambda_0}{\lambda_0^2 + (mh)^2}, \quad a_{mn} = \frac{(-1)^m}{\cosh \lambda_n} \frac{\lambda_n \sinh \lambda_n}{\lambda_n^2 + (mh)^2}, \quad b_{mo} = \frac{(-1)^m}{N_0 \sinh \lambda_0} \frac{m \lambda_0 \sinh \lambda_0}{\lambda_0^2 + (mh)^2}, \quad b_{mn} = \frac{(-1)^m}{N_n \sinh \lambda_n} \frac{m \lambda_n \sinh \lambda_n}{\lambda_n^2 + (mh)^2}$$

$$\lambda_0 = kh, \quad \lambda_n = kh, \quad \lambda_0 = \bar{q} kh = \bar{q} \lambda_0, \quad \lambda_n = \bar{q} kh = \bar{q} \lambda_n, \quad N_0 = \frac{1}{2} \left(1 + \frac{2 \lambda_0}{\sinh 2 \lambda_0} \right), \quad N_n = \frac{1}{2} \left(1 + \frac{2 \lambda_n}{\sinh 2 \lambda_n} \right)$$

式(10)～(12)より、 H_m/A , I_m/A を決める式として次の連立方程式を得る。

$$\beta \varepsilon_m \frac{H_m}{A} - i \sum_{r=0}^{\infty} (a_{mo} b_{mr} + i \sum_{n=1}^{\infty} a_{mn} b_{rn}) \tanh Rl \cdot \frac{H_r}{A} = a_{mo} \quad (m=0, 1, 2, \dots) \quad (13)$$

$$\beta \varepsilon_m \frac{I_m}{A} - i \sum_{r=0}^{\infty} (a_{mo} b_{mr} + i \sum_{n=1}^{\infty} a_{mn} b_{rn}) \coth Rl \cdot \frac{I_r}{A} = a_{mo} \quad (m=0, 1, 2, \dots) \quad (14)$$

$$\text{ただし } r=0 \text{ のとき } b_{ro} \tanh Rl = b_{ro} \tanh Rl = 0, \quad b_{ro} \coth Rl = \sinh \lambda_0 / (N_0 \lambda_0 \sinh \lambda_0 \cdot kh),$$

$$b_{rn} \coth Rl = \sinh \lambda_n / (N_n \lambda_n \sinh \lambda_n \cdot kh) \text{ となる。}$$

上式を解いて H_m/A , I_m/A を決めると、式(10), (11) や

$$\frac{B}{A} = 1 + i \sum_{r=0}^{\infty} b_{ro} \left(\frac{H_r}{A} \tanh Rl + \frac{I_r}{A} \coth Rl \right); \quad \frac{J}{A} = i \sum_{r=0}^{\infty} b_{ro} \left(\frac{H_r}{A} \tanh Rl - \frac{I_r}{A} \coth Rl \right) \quad (15)$$

$$\frac{C_n}{A} = - \sum_{r=0}^{\infty} b_{rn} \left(\frac{H_r}{A} \tanh Rl + \frac{I_r}{A} \coth Rl \right); \quad \frac{L_n}{A} = - \sum_{r=0}^{\infty} b_{rn} \left(\frac{H_r}{A} \tanh Rl - \frac{I_r}{A} \coth Rl \right) \quad (16)$$

また、入射波を $S_i = a \cos(kx + \sigma t)$ とすると $A = i \cdot \frac{\partial a}{\partial t} e^{ikx} = i a \frac{\partial}{\partial t} \coth kh \cdot e^{ikx}$ となり。これで式(11)～(13)の速度ボテンシャルの定数が全て決まることになる。このようにして、与えられた入射波に対する速度ボテンシャルが決定すると、水平流速 u , 鋼直流速 w は $u = \frac{\partial \psi}{\partial x}$, $w = \frac{\partial \psi}{\partial z}$, 水面変形 S は $S(x, t) = -\frac{1}{g} \frac{\partial \psi}{\partial t} |_{z=0}$ (g は重力の加速度), 流体の圧力 p は $p/\rho = -\frac{\partial \psi}{\partial t} - g z$ (ρ : 流体密度) の各式を用いて速度ボテンシャルより決まる。

i) 反射率 K_R および通過率 K_T

$$K_R = |B/A|, \quad K_T = |J/A|, \quad (17)$$

ii) 水平力と揚圧力

堤体前面 ($x=l$) と背面 ($x=-l$) および底面 ($z=-q h$) における流体圧力を各々 P_1 , P_3 , および P_2 とすると

$$\frac{P_1}{\rho g A} = \left[\left(1 + \frac{B}{A} \right) \frac{\cosh k(z+h)}{\cosh kh} + \sum_{n=1}^{\infty} \frac{C_n}{A} \frac{\cos kh(z+h)}{\cosh kh} \right] e^{i(kl + \sigma t)} \quad (18)$$

$$\frac{P_2}{\rho g A} = \beta \sum_{r=0}^{\infty} \left(\frac{H_r}{A} \frac{\cosh Rz}{\cosh Rl} + \frac{I_r}{A} \frac{\sinh Rz}{\sinh Rl} \right) \cdot (-1)^r e^{i(kz+rt)} \quad \dots \dots \dots \quad (19)$$

$$\frac{P_3}{\rho g A} = \left[\frac{J}{A} \frac{\cosh k(z+h)}{\cosh kh} + \sum_{n=1}^{\infty} \frac{L_n}{A} \frac{\cosh k_n(z+h)}{\cosh kh} \right] e^{i(kz+rt)} \quad \dots \dots \dots \quad (20)$$

堤体に対する全水平力 P_H および揚圧力 P_V は

$$\frac{P_H}{\rho g A h} = \frac{1}{q} \left[\left(1 + \frac{B}{A} - \frac{J}{A} \right) \frac{\sinh \lambda_0 - \sinh \lambda_0}{\lambda_0 \cosh \lambda_0} + \sum_{n=1}^{\infty} \frac{C_n - L_n}{A} \frac{\sin \lambda_n - \sin \bar{\lambda}_n}{\lambda_n \cosh \lambda_n} \right] e^{i(kz+rt)} \quad \dots \dots \dots \quad (21)$$

$$\frac{P_V}{2\rho g A l} = \beta \left[\frac{H_0}{A} + \sum_{n=1}^{\infty} (-1)^r \frac{\tanh RL}{RL} \cdot \frac{H_r}{A} \right] e^{i(kz+rt)} \quad \dots \dots \dots \quad (22)$$

iii) 水面波形

$$\frac{s_1(x,t)}{a} = \left[e^{ik(x-l)} + \frac{B}{A} e^{-ik(x-l)} + \sum_{n=1}^{\infty} \frac{C_n}{A} e^{-kn(x-l)} \right] e^{i(kz+rt)} \quad \dots \dots \dots \quad (23)$$

$$\frac{s_2(x,t)}{a} = \left[\frac{J}{A} e^{ik(x+l)} + \sum_{n=1}^{\infty} \frac{L_n}{A} e^{kn(x+l)} \right] e^{i(kz+rt)} \quad \dots \dots \dots \quad (24)$$

また、マウンドによるエネルギー損失率 E_D は

$$E_D = 1 - K_R^2 - K_T^2$$

で得られる。

式(13), (14) の連立方程式は r および n について無限級数を含む無限の連立方

程式であり、この計算の実行に当っては

$m=r+n+l$ を満たす $m+1$ 項の連立方程式となる。従って、解の収束性を調べる必要があるが、これは Table 1 の計算例で示されるように数値的に証明される。

Table 2 は $x=-l$ での energy flux の連続条件を checked したものである。

この計算に必要な諸元のうち、外は、

マウンドの透過堤体内部の流体抵抗は

流速に比例すると仮定した抵抗

係数であるため、マウンドの空

隙率や空隙形状、等等、入射波

の波形勾配等により異なり、実

験的に求めなければならない。

なお、この計算は $T=1$, $\eta_0=0$

の時は、半浸水角柱の場合に一

致する。

B/A	0.78408E 00	R	0.17509E 00	I	0.803395 (=KR)
C(1)/A	0.52694E-01	R	0.63035E-01	I	0.082161
C(2)/A	0.44013E-02	R	0.67824E-02	I	0.008254
C(3)/A	-0.69972E-02	R	-0.84349E-02	I	0.010915
C(4)/A	-0.11721E-02	R	-0.22064E-02	I	0.002498
C(5)/A	0.27516E-02	R	0.34238E-02	I	0.004392
C(6)/A	0.53626E-03	R	0.11492E-02	I	0.001268
C(7)/A	-0.15017E-02	R	-0.15935E-02	I	0.002417
C(8)/A	-0.30741E-03	R	-0.72588E-03	I	0.000814
C(9)/A	0.95861E-03	R	0.12111E-02	I	0.001945
C(10)/A	0.20263E-03	R	0.62859E-03	I	0.000660

J /A	0.21535E 00	R	-0.17424E 00	I	0.277007 (=KT)
L(1)/A	-0.57970E-01	R	-0.65457E-01	I	0.082255
L(2)/A	0.49955E-03	R	-0.34440E-02	I	0.003586
L(3)/A	0.54858E-02	R	0.75777E-02	I	0.004355
L(4)/A	-0.18958E-03	R	0.12602E-02	I	0.001274
L(5)/A	-0.19428E-02	R	-0.29390E-02	I	0.003523
L(6)/A	0.83242E-04	R	-0.69253E-03	I	0.000698
L(7)/A	0.98870E-03	R	0.15876E-02	I	0.001870
L(8)/A	-0.52344E-04	R	0.47001E-03	I	0.000473
L(9)/A	-0.60104E-03	R	-0.10026E-02	I	0.001169
L(10)/A	0.44410E-04	R	-0.40864E-03	I	0.000411

Table 1 B/A, Cn/A, J/A, Ln/A の計算例

($\ell/h=0.5$, $q=0.5$, $T=0.45$, $\eta_0=2.0$, $\phi_2=\phi_3=0.5$)

SOKUDO POTENTIAL

Z/H	ϕ_3	X = -L	ϕ_2
-0.50	0.180E-0.1311	0.2224	0.182E-0.1261
-0.55	0.192E-0.1121	0.2223	0.192E-0.1131
-0.60	0.209E-0.1011	0.2245	0.200E-0.1011
-0.65	0.205E-0.0951	0.2262	0.206E-0.0941
-0.70	0.209E-0.0891	0.2272	0.209E-0.0891
-0.75	0.213E-0.0841	0.2285	0.213E-0.0831
-0.80	0.216E-0.0801	0.2298	0.215E-0.0801
-0.85	0.217E-0.0771	0.2305	0.217E-0.0771
-0.90	0.218E-0.0751	0.2308	0.218E-0.0751
-0.95	0.219E-0.0741	0.2313	0.219E-0.0741
-1.00	0.220E-0.0731	0.2317	0.220E-0.0731

Table 2. $x=-l$ ($-q > z > -h$) での速度ポテンシャル ϕ_2 と ϕ_3 の連続性の検定計算例 ($\ell/h=0.5$, $q=0.5$, $T=0.45$, $\eta_0=2.0$, $\phi_2=\phi_3=0.5$)